



INFORME PRÁCTICA 3

SISTEMAS LINEALES

Diego Ismael Antolinos García
Andrés Ruz Nieto
P-B2

ÍNDICE

1. Señales periódicas continuas. Series de Fourier	2
a. Señal a	2
i. Representación	2
ii. DSF.....	2
b. Señal b.....	3
i. Representación	3
ii. DSF.....	3
c. Señal c	4
i. Representación	4
ii. DSF.....	4
d. Señal d	6
i. Representación	6
ii. DSF.....	6
e. Señal e	7
i. Representación	7
ii. DSF.....	7
f. Señal f.....	8
i. Representación	8
ii. DSF.....	8
g. Señal a	9
i. $T=4$	9
ii. $T=6$	9
h. Señal c	11
i. $T=4$	11
ii. $T=6$	11
i. Señal d	12
i. $T=4$	12
ii. $T=6$	12
j. Reconstruir las señales a, c, d, e.....	13
i. Señal a	13
ii. Señal c	14
iii. Señal d	15
iv. Señal e	17
2. Series de Fourier y sistemas LTI	19

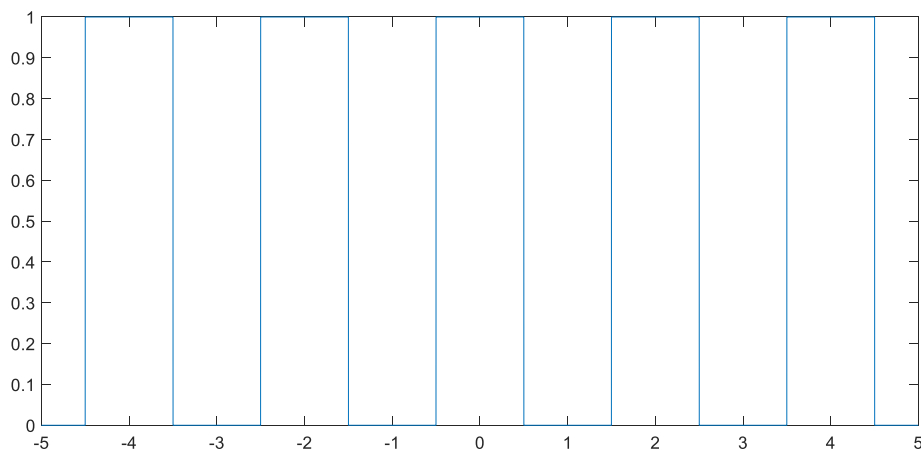
En esta práctica realizaremos representaciones de señales periódicas continuas mediante su DSF y analizaremos la respuesta en frecuencia de sistemas LTI ante señales periódicas haciendo uso también del DSF.

1. Señales periódicas continuas. Series de Fourier

a. Señal a

i. Representación

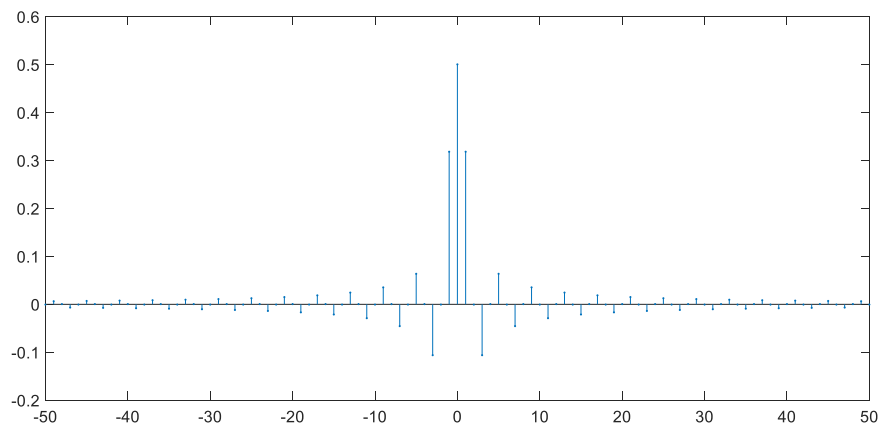
```
T=2; dt=0.001; t=-T/2:dt:T/2-dt;
x=zeros(1, length(t));
ti=find(abs(t)<=0.5) ; x(ti)=1;
ti=find(abs(t)>0.5) ; x(ti)=0;
figure, plot([t-2*T t-T t t+T t+2*T],[x x x x x]);
```



ii. DSF

```
%N= 50 para reducir el fenómeno de GIBBS
ak=sfourier(x,T,50,dt);
p=-50:50;
stem(p,ak, 'r')
```

Donde **x** es una señal pseudo-continua como las generadas anteriormente, **T** es el periodo de la señal, **N** es el orden del armónico más alto, utilizamos 50 para reducir el efecto del Fenómeno de Gibbs, y **dt** es el paso temporal de discretización. (Esto se repite para los casos posteriores).



$$a_k = \frac{1}{2} \int_{-0.5}^{0.5} e^{-jk\pi t} dt = \frac{1}{2} \left[\frac{e^{-jk\pi t}}{-jk\pi} \right]_{-0.5}^{0.5} = \frac{1}{2} \left(\frac{e^{-0.5jk\pi} - e^{0.5jk\pi}}{-jk\pi} \right)$$

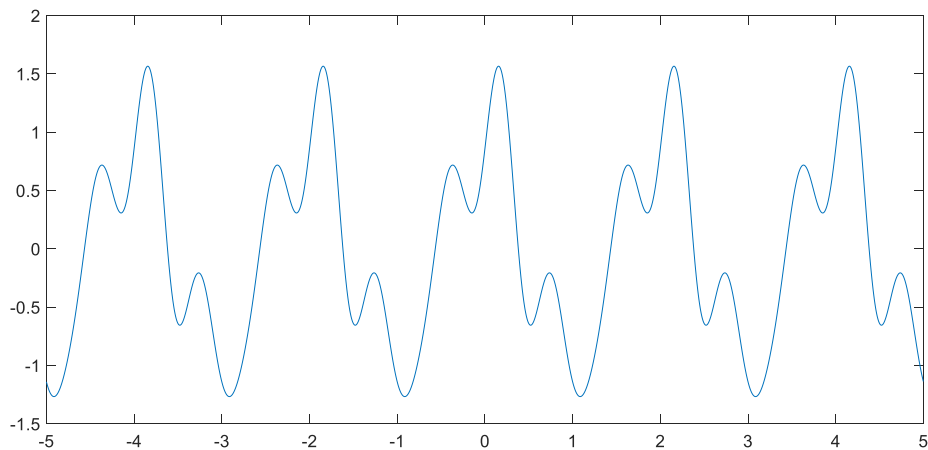
$$= \frac{2}{2k\pi} \left(\frac{e^{0.5jk\pi} - e^{-0.5jk\pi}}{2j} \right) = \frac{1}{k\pi} \sin\left(\frac{k\pi}{2}\right) = \frac{1}{2} \frac{\sin\left(\frac{k\pi}{2}\right)}{\frac{k\pi}{2}} = \frac{1}{2} \text{sinc}\left(\frac{k}{2}\right)$$

para $k=0 \rightarrow a_0 = \frac{\pi}{0} = \lim_{k \rightarrow 0} \frac{\cos\left(\frac{k\pi}{2}\right) \frac{\pi}{2}}{\pi} = \frac{\pi/2}{\pi} = \frac{1}{2}$

b. Señal b

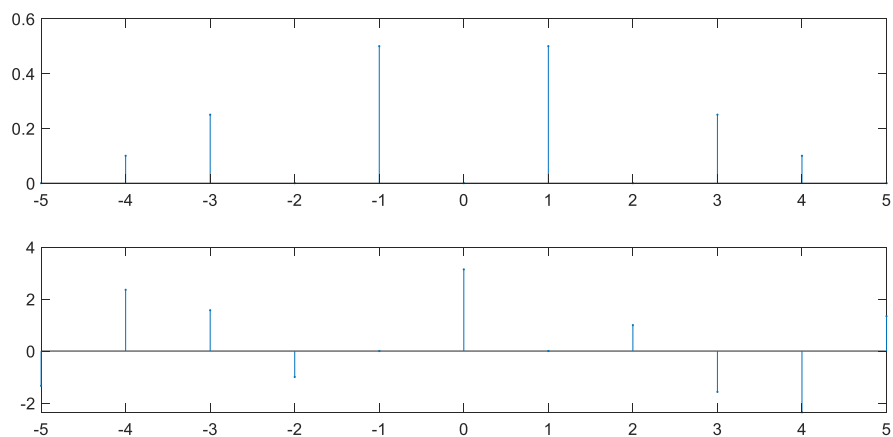
i. Representación

```
T=2; dt=0.001; t=-T/2:dt:T/2-dt;
x=cos(pi*t)+0.5*sin(3*pi*t)-0.2*cos(4*pi*t+pi/4);
figure, plot([t-2*T t-T t t+T t+2*T],[x x x x x]);
```



ii. DSF

```
ak=sfourier(x,T,50,dt);
p=-5:5;
subplot(2,1,1)
stem(p,abs(ak),'b')
subplot(2,1,2)
stem(p,angle(ak),'b')
```



$$\begin{aligned}
 x(t) &= \frac{e^{j\pi t} + e^{-j\pi t}}{2} + \frac{1}{2} \frac{e^{j3\pi t} - e^{-j3\pi t}}{2j} - \frac{1}{5} \cdot e^{\frac{\pi}{4}} \cdot \frac{e^{j4\pi t} + e^{-j4\pi t}}{2} = \\
 &= \frac{1}{2} e^{j\pi t} + \frac{1}{2} e^{-j\pi t} + \frac{1}{4j} e^{j3\pi t} - \frac{1}{4j} e^{-j3\pi t} - \frac{e^{\frac{\pi}{4}}}{10} e^{j4\pi t} - \frac{e^{\frac{\pi}{4}}}{10} e^{-j4\pi t} \\
 a_1 &= \frac{1}{2} \quad a_{-1} = \frac{1}{2} \quad a_3 = \frac{1}{4j} \quad a_{-3} = -\frac{1}{4j} \quad a_4 = -\frac{e^{\frac{\pi}{4}}}{10} \quad a_{-4} = -\frac{e^{\frac{\pi}{4}}}{10}
 \end{aligned}$$

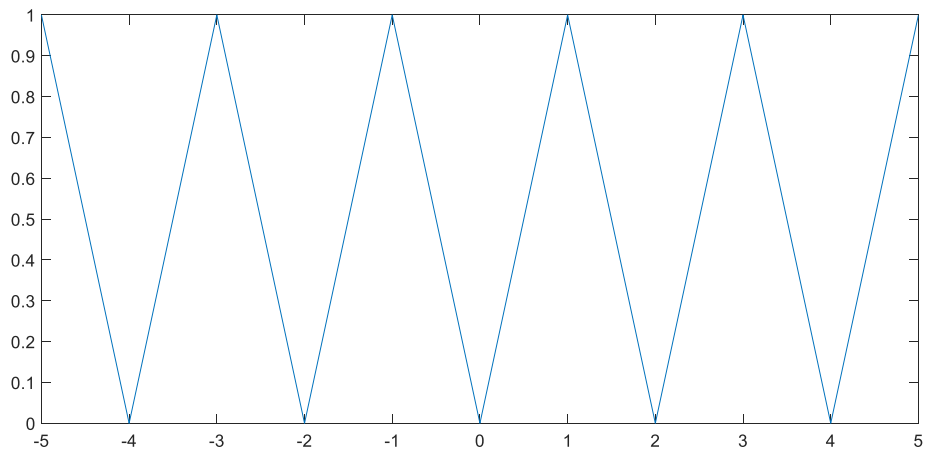
c. Señal c

i. Representación

```

T=2; dt= 0.001; t=-T/2:dt:T/2-dt;
x= zeros (1, length(t));
ti=find(t>0 & t<1); x(ti) =t(ti);
ti=find(t>=-1 & t<=0); x(ti)=-t(ti);
figure, plot([t-2*T t-T t t+T t+2*T], [x x x x x])

```

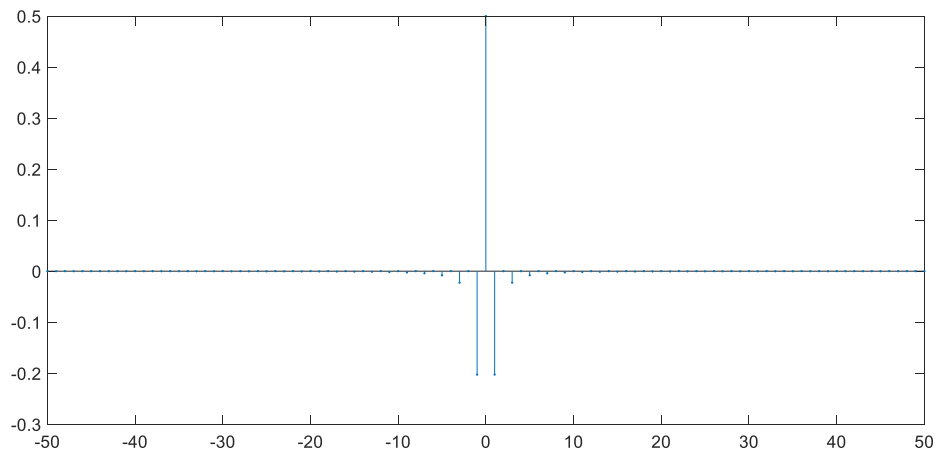


ii. DSF

```

ak=sfourier(x,T,50,dt);
p=-50:50;
stem(p,ak,'.')

```



$$a_k = \frac{1}{2} \left[- \int_{-1}^0 t \bar{e}^{jk\pi t} dt + \int_0^1 t \bar{e}^{jk\pi t} dt \right]$$

Calculamos la primitiva:

$$\int t \bar{e}^{jk\pi t} dt = \int_{u=t}^{} du = e^{jk\pi t} \quad u = -\frac{\bar{e}^{jk\pi t}}{jk\pi} \quad \left\{ \begin{array}{l} u=t \quad du=dt \end{array} \right\} = \frac{-t \bar{e}^{jk\pi t}}{jk\pi} + \int \frac{\bar{e}^{jk\pi t}}{jk\pi} dt =$$

$$= \frac{-t \bar{e}^{jk\pi t}}{jk\pi} + \frac{\bar{e}^{jk\pi t}}{(k\pi)^2} = \left(\frac{-t}{jk\pi} + \frac{1}{(k\pi)^2} \right) \bar{e}^{jk\pi t}$$

$$a_k = \frac{1}{2} \left(\left[\left(\frac{t}{jk\pi} - \frac{1}{(k\pi)^2} \right) \bar{e}^{jk\pi t} \right]_{-1}^0 + \left[\left(\frac{-t}{jk\pi} + \frac{1}{(k\pi)^2} \right) \bar{e}^{jk\pi t} \right]_0^1 \right) =$$

$$= \frac{1}{2} \left(-\frac{1}{(k\pi)^2} - \left(\frac{-1}{jk\pi} - \frac{1}{(k\pi)^2} \right) (-1)^k \right) = \frac{1}{2} \left(\frac{2}{(k\pi)^2} (-1)^k (-1)^k \right) =$$

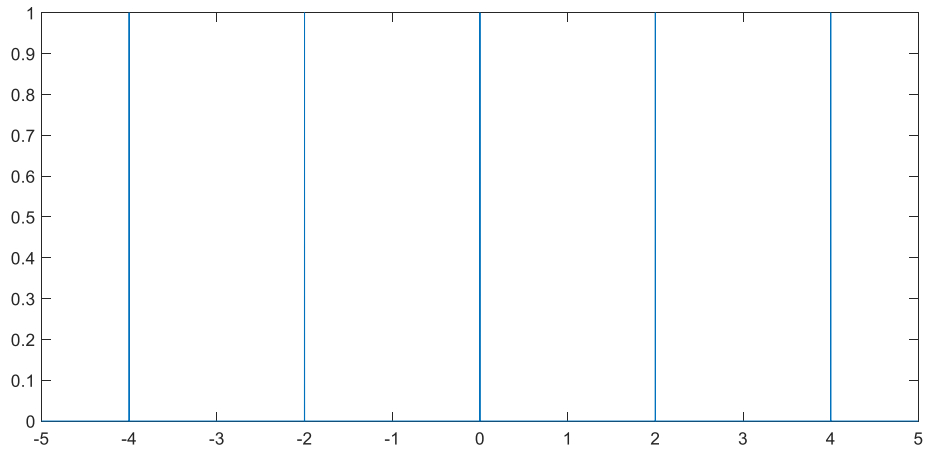
$$= \frac{1}{(k\pi)^2} ((-1)^k - 1)$$

$$a_0 = \frac{1}{2} \left[- \int_{-1}^0 t dt + \int_0^1 t dt \right] = \frac{1}{2} \left[- \left[\frac{t^2}{2} \right]_{-1}^0 + \left[\frac{t^2}{2} \right]_0^1 \right] = \frac{1}{2} \left[\frac{1}{2} - \frac{1}{2} \right] = \frac{1}{2}$$

d. Señal d

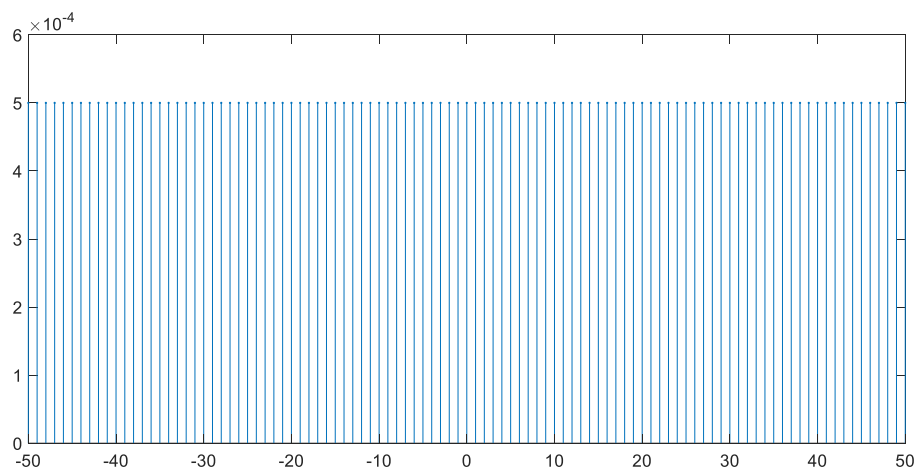
i. Representación

```
T=2; dt= 0.001; t=-T/2:dt:T/2-dt;  
x= zeros (1, length(t));  
ti=find(t==0); x(ti)=1;  
figure, plot([t-2*T t-T t t+T t+2*T], [x x x x x])
```



ii. DSF

```
ak=sfourier(x,T,50,dt);  
p=-50:50;  
stem(p,ak,'.')
```

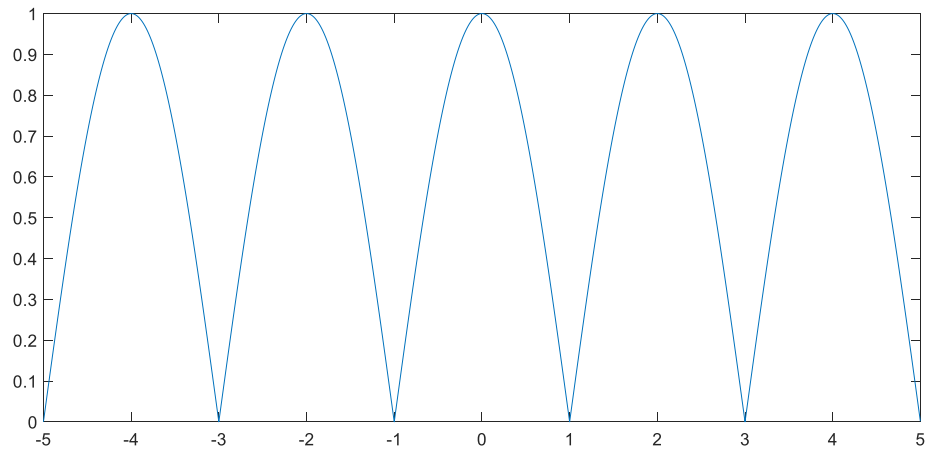


$$a_K = \frac{1}{2} \int_{-1}^1 f(t) e^{-jK\pi t} dt = \frac{1}{2} \int_{-1}^1 f(t) dt = \frac{1}{2}$$

e. Señal e

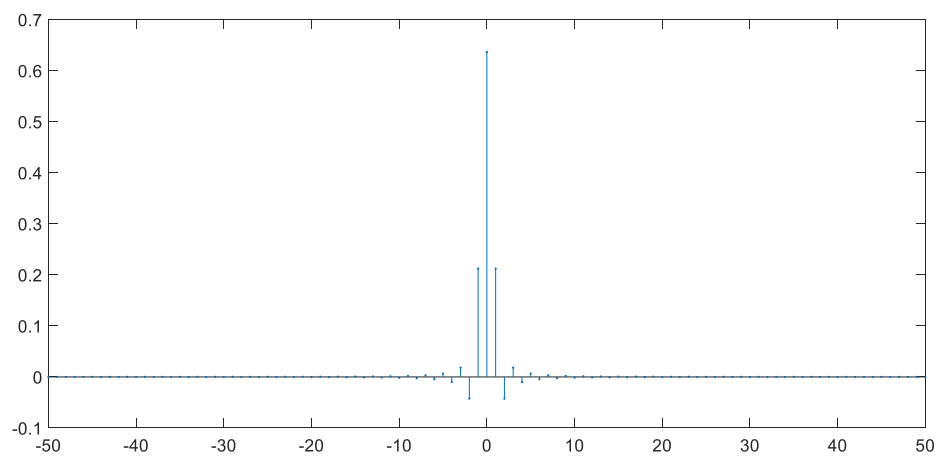
i. Representación

```
T=2; dt= 0.001; t=-T/2:dt:T/2-dt;  
x=abs(cos(pi*t/2));  
figure, plot([t-2*T t-T t t+T t+2*T], [x x x x x])
```



ii. DSF

```
ak=sfourier(x,T,50,dt);  
p=-50:50;  
stem(p,ak, 'b')
```



$$\begin{aligned}
 a_k &= \frac{1}{2} \int_{-1}^1 \cos\left(\frac{\pi}{2}t\right) e^{jk\pi t} dt = \frac{1}{2} \int_{-1}^1 \left(\frac{e^{j\frac{\pi}{2}t} + e^{-j\frac{\pi}{2}t}}{2} \right) e^{jk\pi t} dt = \\
 &= \frac{1}{4} \int_{-1}^1 e^{j\pi t(\frac{1}{2}-k)} + e^{j\pi t(\frac{1}{2}+k)} dt = \frac{1}{4} \left[\frac{e^{j\pi t(\frac{1}{2}-k)}}{j\pi(\frac{1}{2}-k)} - \frac{e^{j\pi t(\frac{1}{2}+k)}}{j\pi(\frac{1}{2}+k)} \right]_{-1}^1 = \\
 &= \frac{1}{4} \left[\frac{e^{j\pi(\frac{1}{2}-k)} - e^{-j\pi(\frac{1}{2}-k)}}{j\pi(\frac{1}{2}-k)} - \frac{e^{j\pi(\frac{1}{2}+k)} - e^{-j\pi(\frac{1}{2}+k)}}{j\pi(\frac{1}{2}+k)} \right] = \\
 &= \frac{1}{2} \left[\frac{\sin(\pi(\frac{1}{2}-k))}{\pi(\frac{1}{2}-k)} + \frac{\sin(\pi(\frac{1}{2}+k))}{\pi(\frac{1}{2}+k)} \right] = \frac{1}{2} \left[\text{sinc}\left(\frac{1}{2}-k\right) + \text{sinc}\left(\frac{1}{2}+k\right) \right]
 \end{aligned}$$

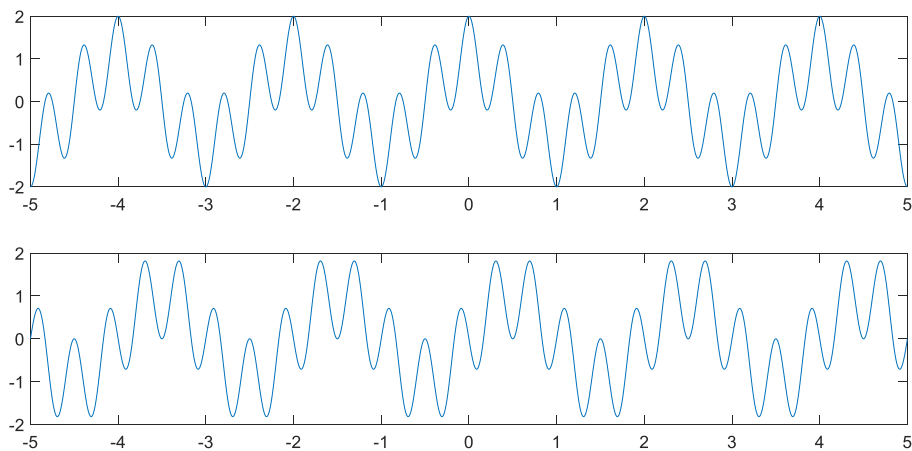
f. Señal f

i. Representación

```

T=2; dt= 0.001; t=-T/2:dt:T/2-dt;
x= exp(j*pi*t) + exp(-5*j*pi*t);
%Parte Real
subplot(2,1,1)
plot([t-2*T t-T t t+T t+2*T], [real(x) real(x) real(x) real(x)
real(x)])
%Parte Imaginaria
subplot(2,1,2)
plot([t-2*T t-T t t+T t+2*T], [imag(x) imag(x) imag(x) imag(x)
imag(x)])

```

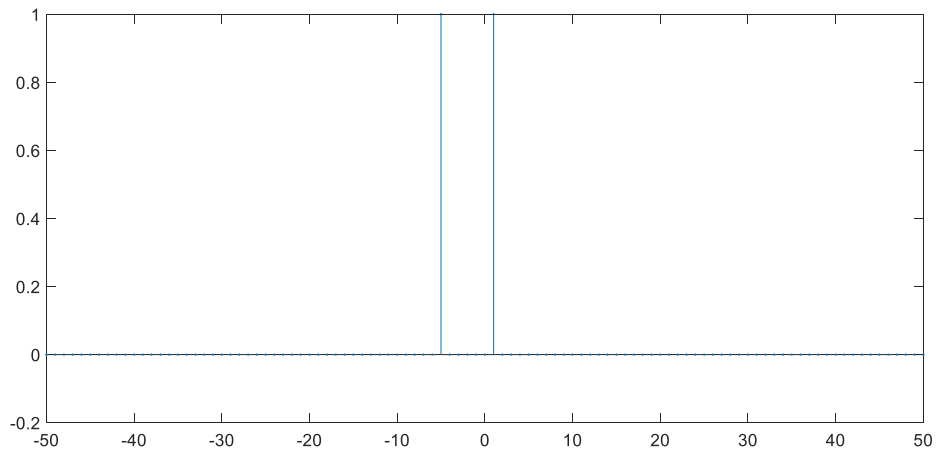


ii. DSF

```

ak=sfourier(x,T,50,dt);
p=-50:50;
stem(p,ak, 'r')

```

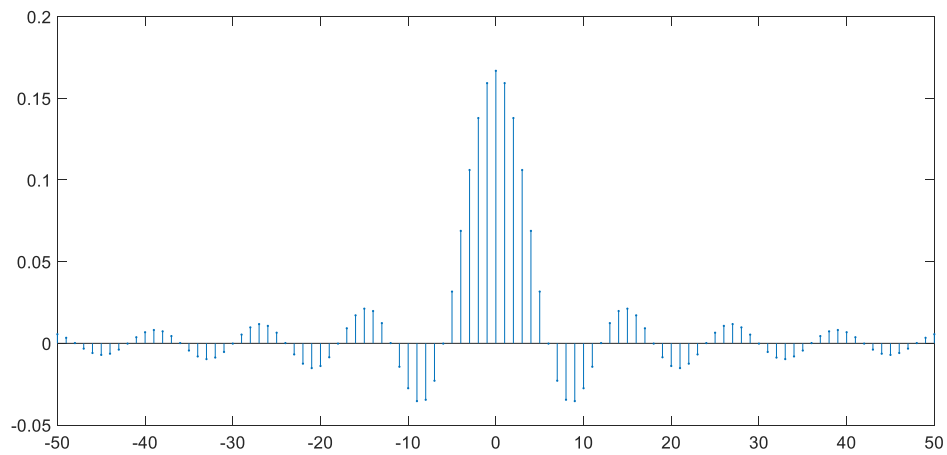


Se ve claramente $\rightarrow a_1 = 1$ $a_{-5} = 1$

g. Señal a

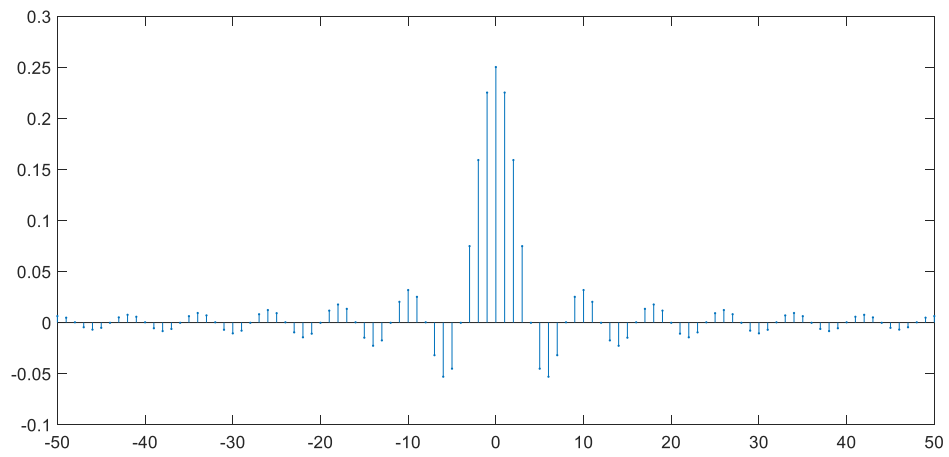
i. $T=4$

```
T=4; dt= 0.001; t=-T/2:dt:T/2-dt;
x= zeros (1, length(t));
ti=find(abs(t)<=0.5); x(ti) =1;
ti=find(abs(t)>0.5); x(ti)=0;
ak=sfourier(x,T,50,dt)
p=[-50:50];
stem(p,ak, 'r')
```



ii. $T=6$

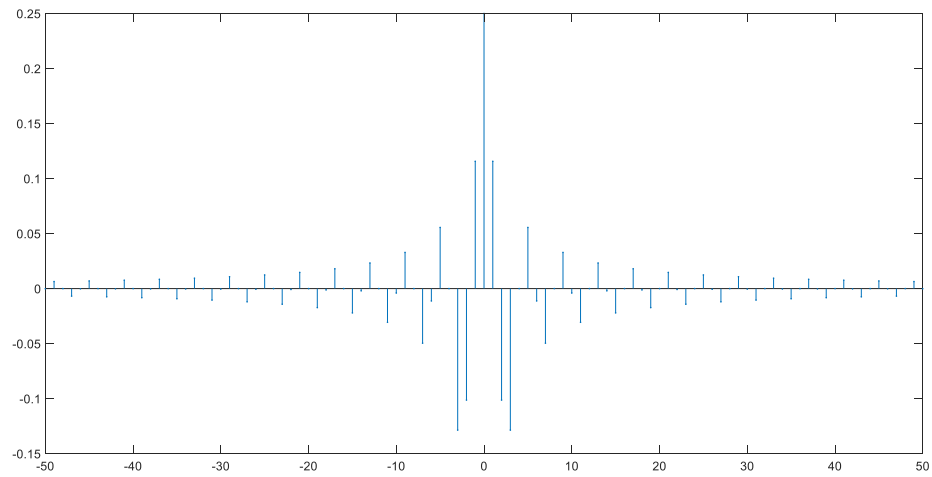
```
T=6; dt= 0.001; t=-T/2:dt:T/2-dt;
x= zeros (1, length(t));
ti=find(abs(t)<=0.5); x(ti) =1;
ti=find(abs(t)>0.5); x(ti)=0;
ak=sfourier(x,T,50,dt)
p=[-50:50];
stem(p,ak, 'r')
```



h. Señal c

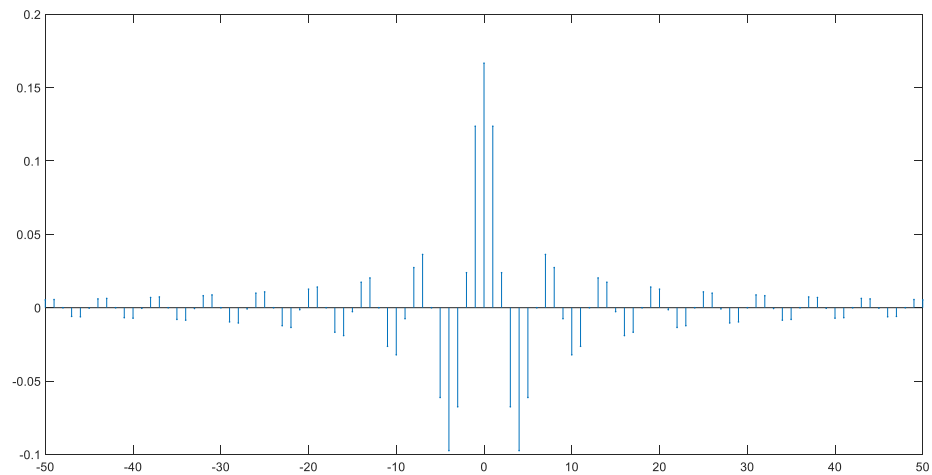
i. $T=4$

```
T=4; dt= 0.001; t=-T/2:dt:T/2-dt;  
x= zeros (1, length(t));  
ti=find(t>0 & t<1); x(ti) =t(ti);  
ti=find(t>=-1 & t<=0); x(ti)=-t(ti);  
figure, plot([t-2*T t-T t t+T t+2*T], [x x x x x])
```



ii. $T=6$

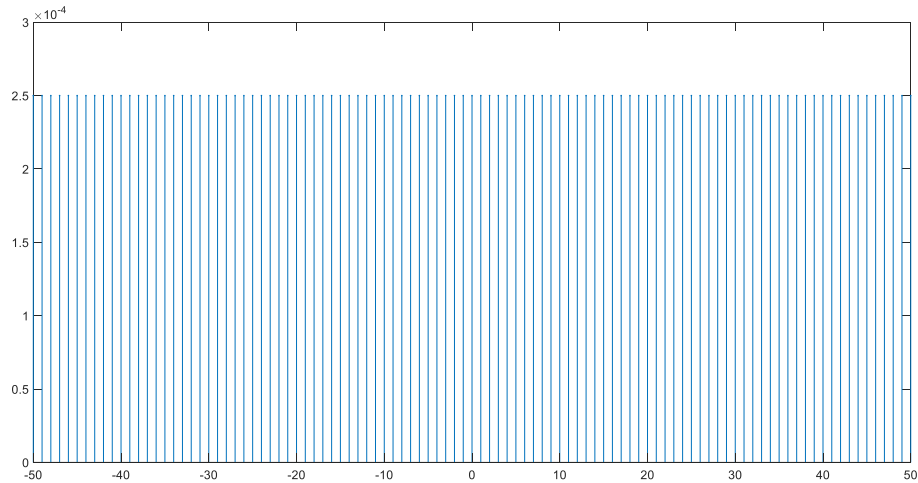
```
T=6; dt= 0.001; t=-T/2:dt:T/2-dt;  
x= zeros (1, length(t));  
ti=find(t>0 & t<1); x(ti) =t(ti);  
ti=find(t>=-1 & t<=0); x(ti)=-t(ti);  
figure, plot([t-2*T t-T t t+T t+2*T], [x x x x x])
```



i. Señal d

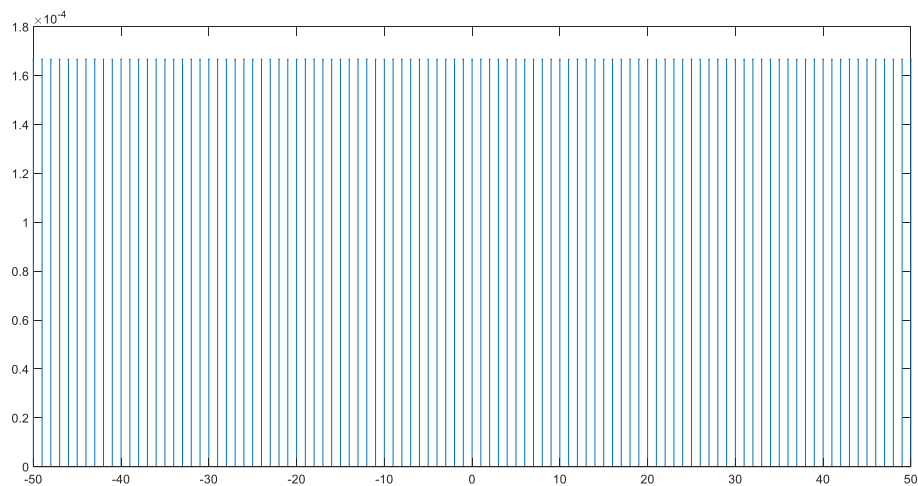
i. $T=4$

```
T=4; dt= 0.001; t=-T/2:dt:T/2-dt;  
x= zeros (1, length(t));  
ti=find(t==0); x(ti)=1;  
figure, plot([t-2*T t-T t t+T t+2*T], [x x x x x])
```



ii. $T=6$

```
T=6; dt= 0.001; t=-T/2:dt:T/2-dt;  
x= zeros (1, length(t));  
ti=find(t==0); x(ti)=1;  
figure, plot([t-2*T t-T t t+T t+2*T], [x x x x x])
```



Si quisiéramos ver el módulo y la fase de estas señales, simplemente tendríamos que cambiar en los comandos del apartado i. Representacion, de cada una de las señales anteriores, $real(x)$ por $abs(x)$ e $imag(x)$ por $angle(x)$.

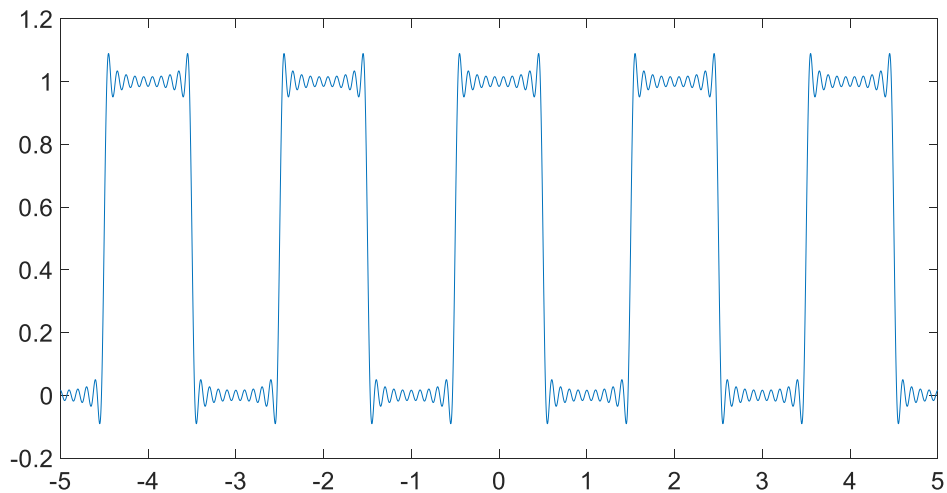
También podemos ver como la amplitud se ve reducida al aumentar el periodo (debido al factor $1/T$ que hay al comienzo de la ecuación de análisis del DSF). También podemos observar que el valor de los a_k ha cambiado, debido a que ha cambiado su pulsación fundamental (la forma de la señal formada por el conjunto de los a_k no ha variado).

j. *Reconstruir las señales a, c, d, e*

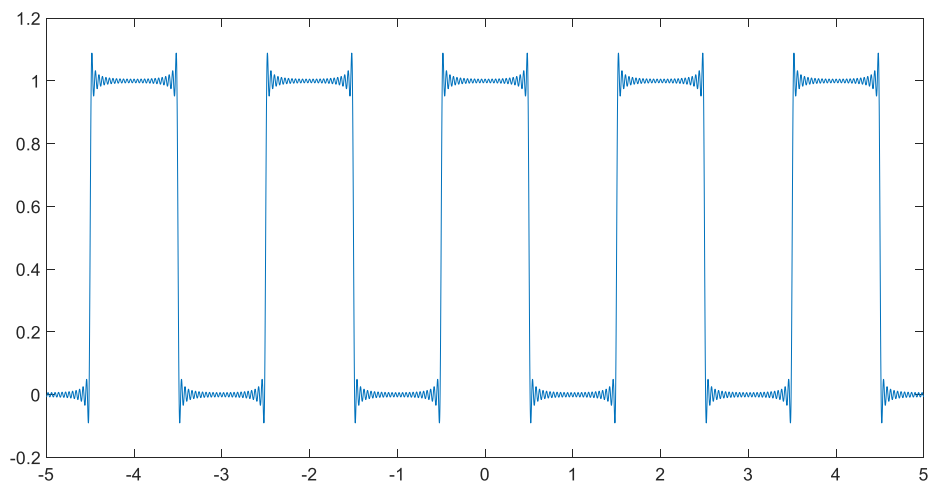
i. Señal a

```
T=2; dt= 0.001; t=-T/2:dt:T/2-dt;
x= zeros (1, length(t));
ti=find(abs(t)<=0.5); x(ti) =1;
ti=find(abs(t)>0.5); x(ti)=0;
ak=sfourier(x,T,20,dt);
x=isfourier(ak,T,20,dt);
figure, plot([t-2*T t-T t t+T t+2*T], [x x x x x])
```

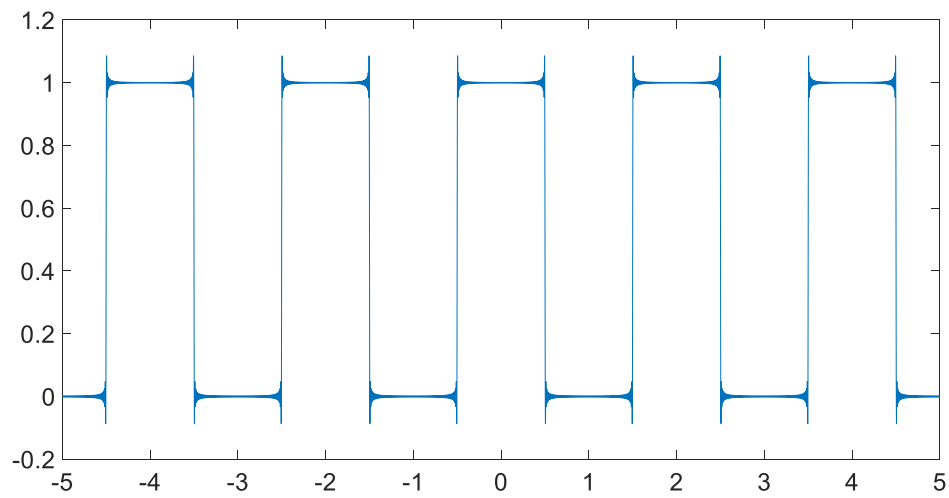
1. 20 armónicos



2. 50 armónicos



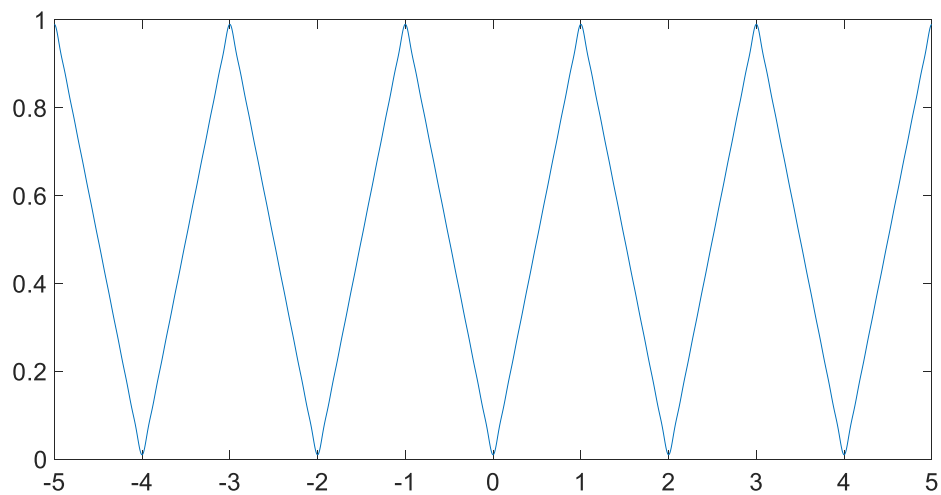
3. 200 armónicos



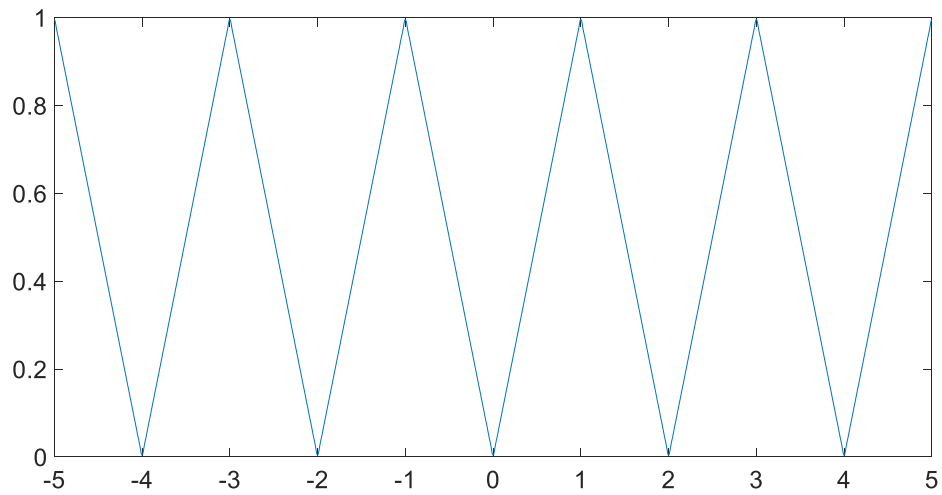
ii. Señal c

```
T=2; dt= 0.001; t=-T/2:dt:T/2-dt;
x= zeros (1, length(t));
ti=find(t>0 & t<1); x(ti) =t(ti);
ti=find(t>=-1 & t<=0); x(ti)=-t(ti);
ak=sfourier(x,T,20,dt);
x=isfourier(ak,T,20,dt);
figure, plot([t-2*T t-T t t+T t+2*T], [x x x x x])
```

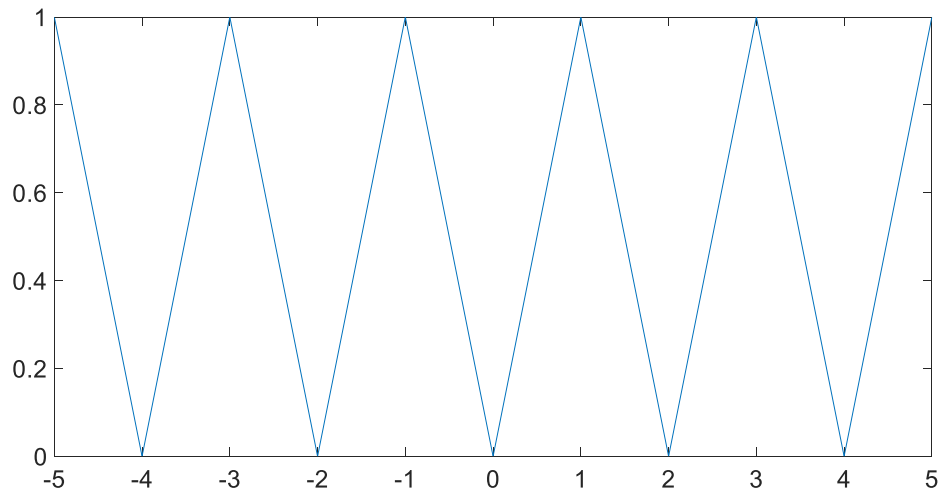
1. 20 armónicos



2. 50 armónicos



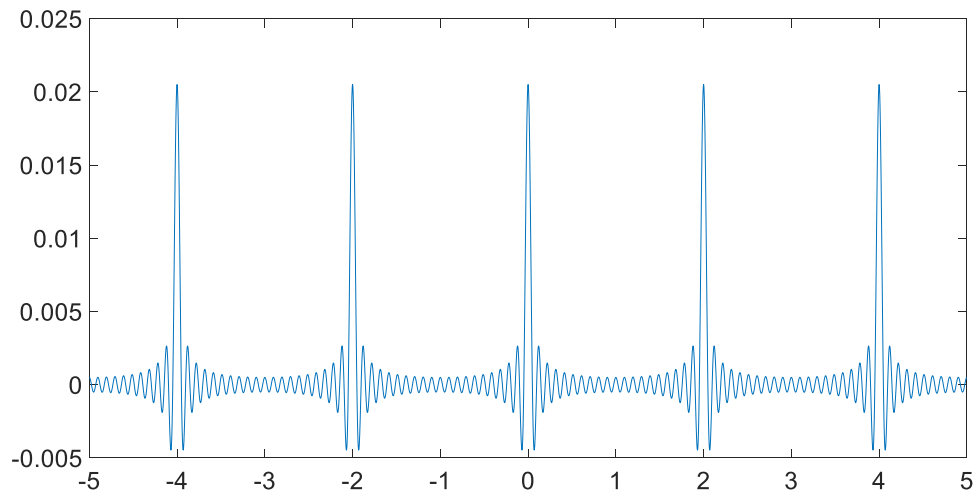
3. 200 armónicos



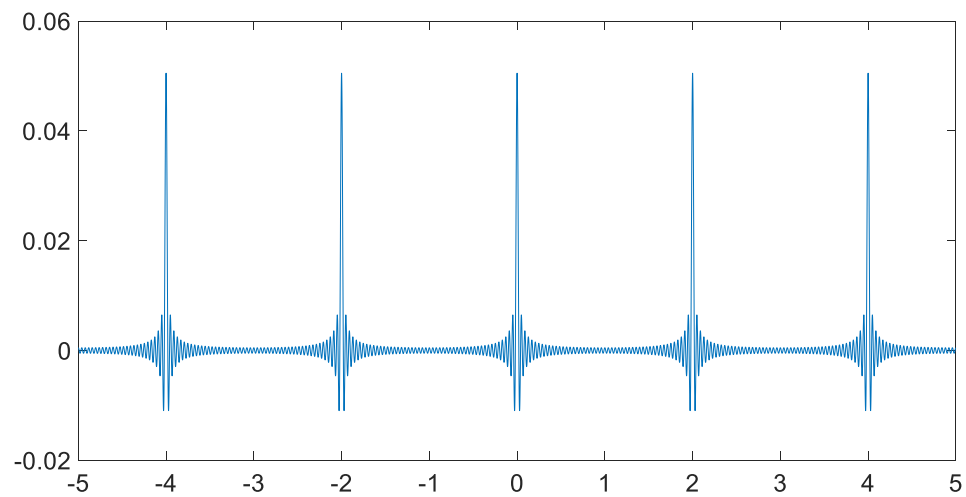
iii. Señal d

```
T=2; dt= 0.001; t=-T/2:dt:T/2-dt;
x= zeros (1, length(t));
ti=find(t==0); x(ti)=1;
ak=sfourier(x,T,20,dt);
x=isfourier(ak,T,20,dt);
figure, plot([t-2*T t-T t t+T t+2*T], [x x x x x])
```

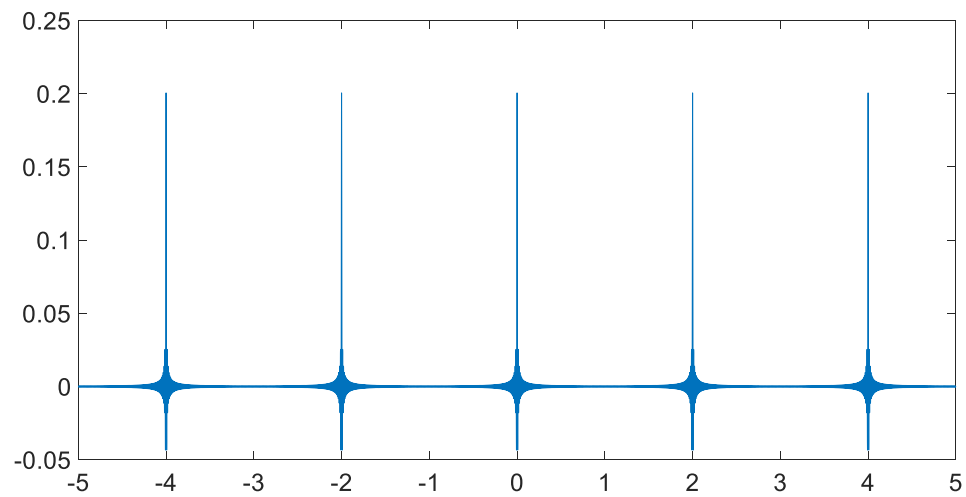

1. 20 armónicos



2. 50 armónicos



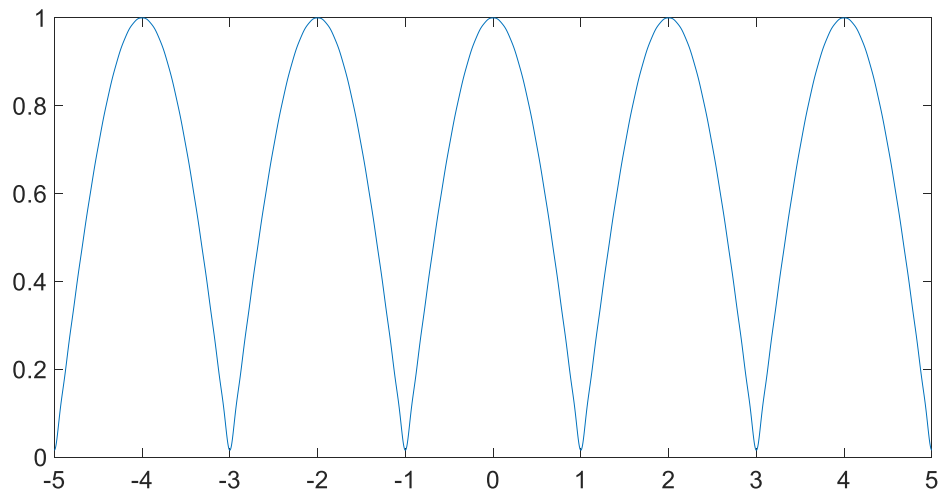
3. 200 armónicos



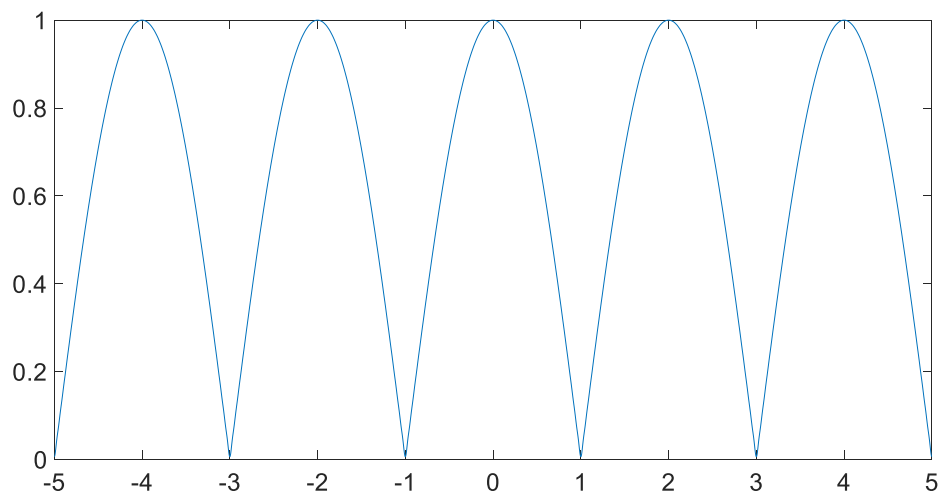
iv. Señal e

```
T=2; dt= 0.001; t=-T/2:dt:T/2-dt;  
x=abs(cos(pi*t/2));  
ak=sfourier(x,T,20,dt);  
x=isfourier(ak,T,20,dt);  
figure, plot([t-2*T t-T t t+T t+2*T], [x x x x x])
```

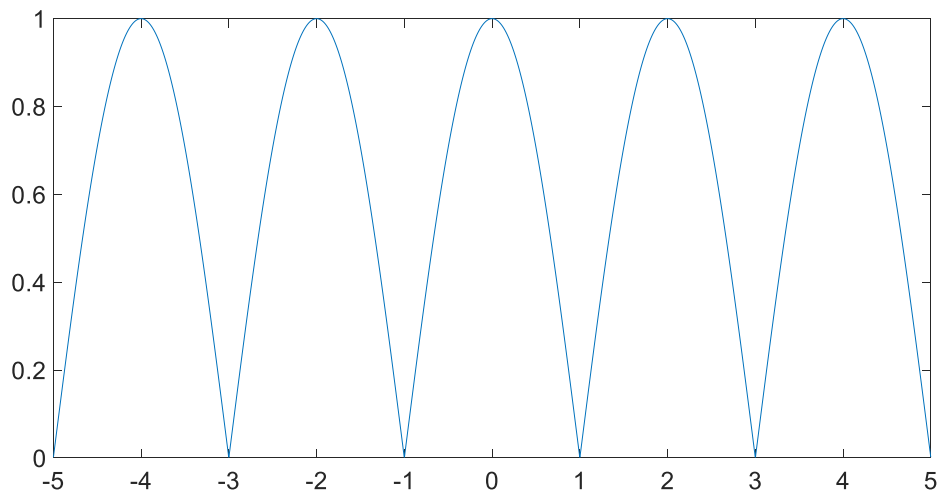
1. 20 armónicos



2. 50 armónicos



3. 200 armónicos



Para comprobar la relación de Parseval hemos desarrollado una función que introduciendo la función, sus a_k y su periodo, devuelve si se cumple dicha relación, y el valor.

```
function Parseval(x,ak,T)
dt=0.001;
a=sum(abs(ak).^2);
b=(1/T)*sum(abs(x).^2)*dt;
error_ab=abs(a-b);
    if (error_ab<5e-04)
        fprintf('Se cumple la relación de Parseval, y su valor es
%G',b);
    else
        fprintf('La relación no se cumple');
    end
end
```

Comprobamos la señal del apartado f del punto 1

```
T=2; dt= 0.001; t=-T/2:dt:T/2-dt;
x= exp(j*pi*t) + exp(-5*j*pi*t);
ak=sfourier(x,T,50,dt);
%Ahora usamos la función de Parseval
Parseval(x,ak,T)
```

Y el programa retorna:

Se cumple la relación de Parseval, y su valor es 2>>

2. Series de Fourier y sistemas LTI

- Calcular analíticamente la respuesta en frecuencia $H(\omega)$ del sistema anterior
- Calcular la frecuencia de corte

$H(\omega)$

$$y_h(t) = B e^{\frac{-t}{RC}} u(t) \rightarrow h(t) = B e^{\frac{-t}{RC}} \Big|_{B=B_0} = e^{\frac{-t}{RC}} u(t)$$

$$RC \frac{dy(t)}{dt} + y(t) = 0$$

$$RC r + 1 = 0 \rightarrow r = -\frac{1}{RC}$$

$$H(\omega) = \int_0^{\infty} e^{\frac{-\tau}{RC}} \cdot e^{-j\omega\tau} d\tau = \int_0^{\infty} e^{(-\frac{1}{RC} - j\omega)\tau} d\tau = \frac{1}{\frac{1}{RC} + j\omega}$$

Módulo

$$\left| \frac{1}{\frac{1}{RC} + j\omega} \right| = \frac{1}{\sqrt{\left(\frac{1}{RC}\right)^2 + \omega^2}}$$

Fase:

$$\arctan\left(\frac{1}{RC}\right) - \arctan(\omega) = -\arctan(\omega)$$

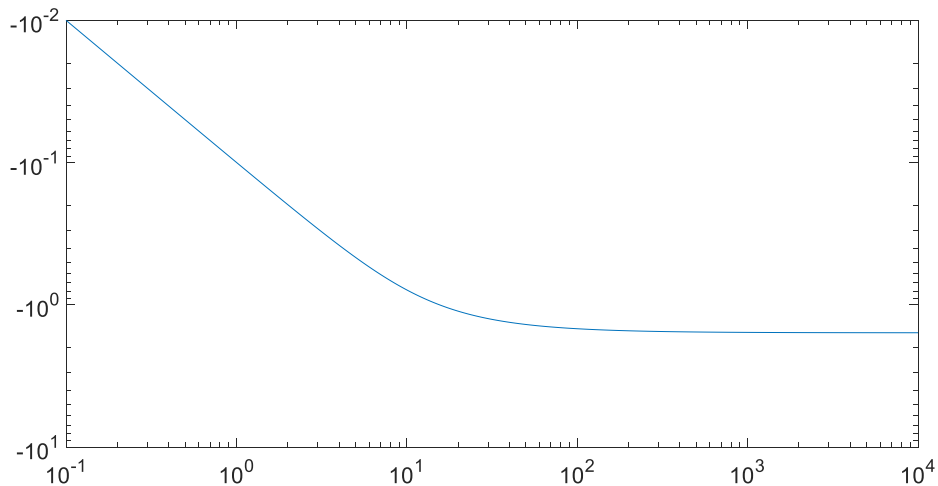
Frecuencia de corte:

$$\frac{1}{\frac{1}{RC} + \omega^2} = 0.5 \rightarrow 2 = \frac{1}{(RC)^2} + \omega^2 \rightarrow \omega_c = \sqrt{2 - \frac{1}{(RC)^2}}$$

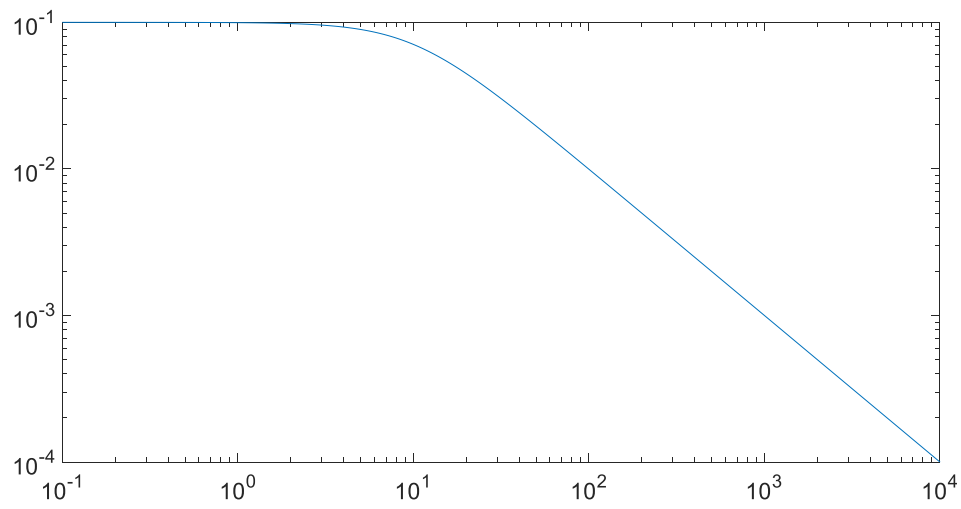
- Respuesta en frecuencia

```
w = [0:0.1:10000];
H = 1./((1/0.1) + j*w);
a = abs(H);
b = angle(H);
figure, loglog(w,b)
figure, loglog(w,a)
```

Fase:



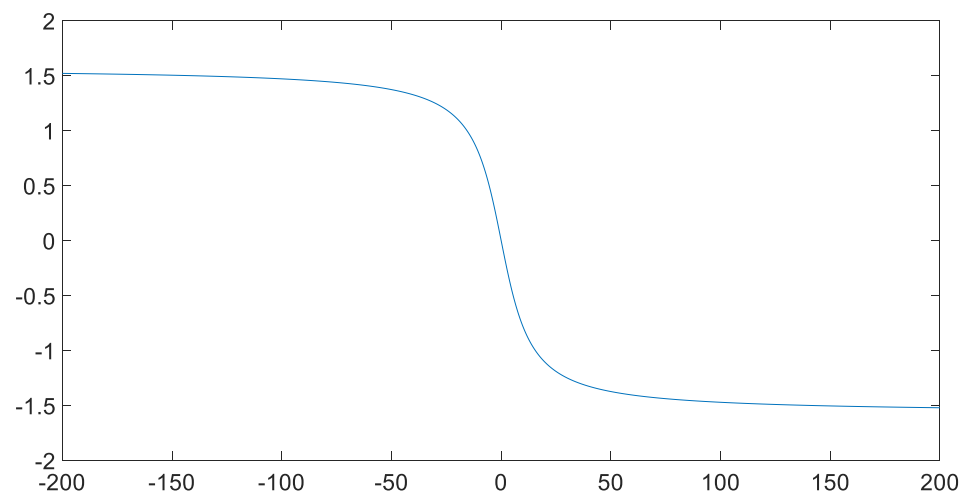
Módulo:



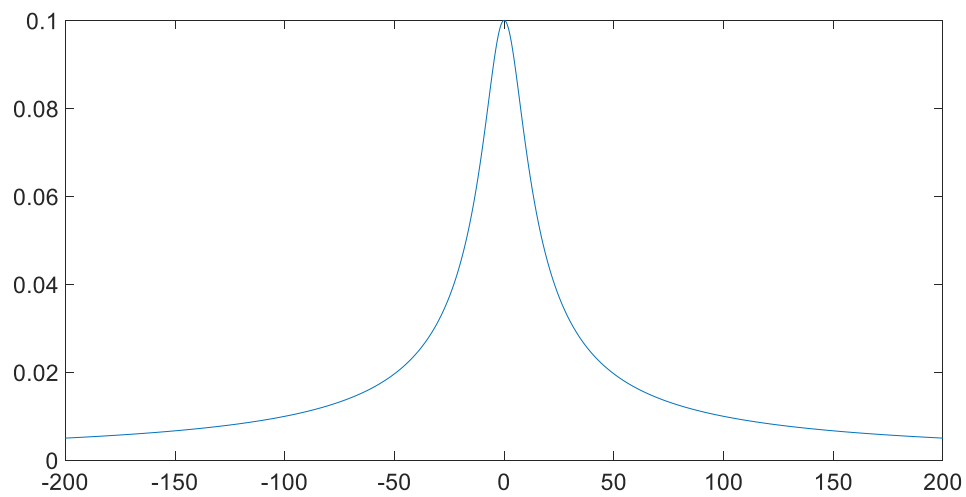
Ahora usamos el siguiente código

```
wt=[-200:0.1:200];  
H1 = 1./((1/0.1) +j*wt);  
a=abs(H1);  
b=angle(H1);  
figure, plot(wt,a)  
figure, plot(wt,b)
```

Fase:



Módulo:

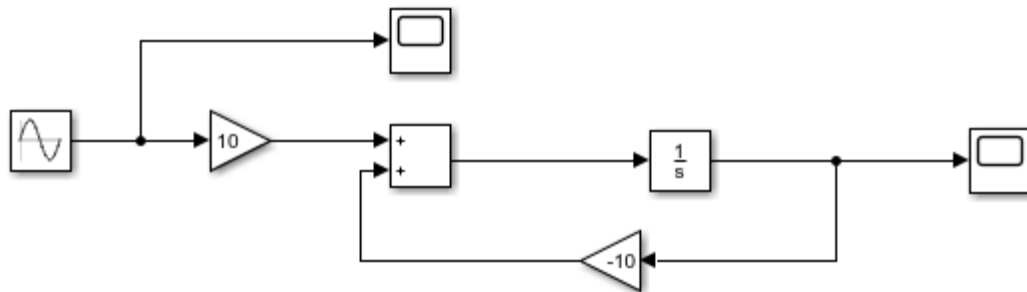


Sabemos que RC es 0.1, por lo que podremos obtener a y b fácilmente

$$0.1 \frac{dy(t)}{dt} + y(t) = x(t) \rightarrow \frac{dy(t)}{dt} + 10y(t) = 10x(t)$$

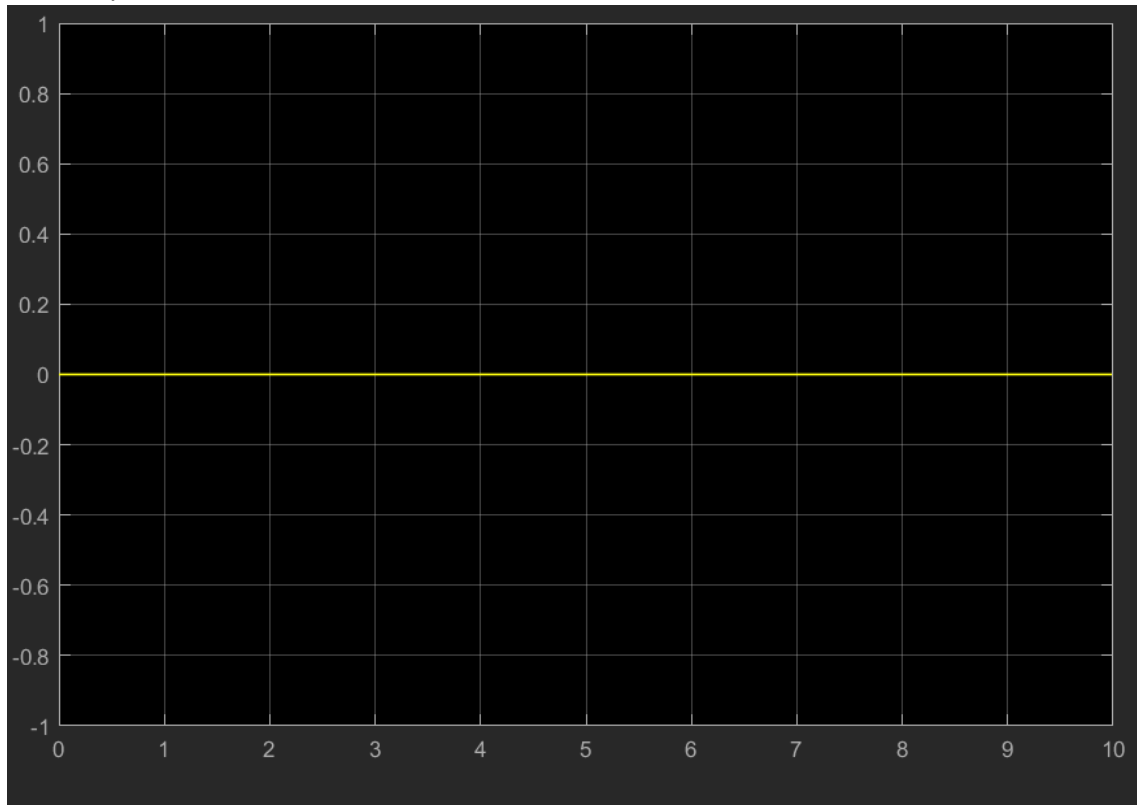
Obtenemos que b=10 e y=-10

Realizamos la siguiente simulación en simulink.



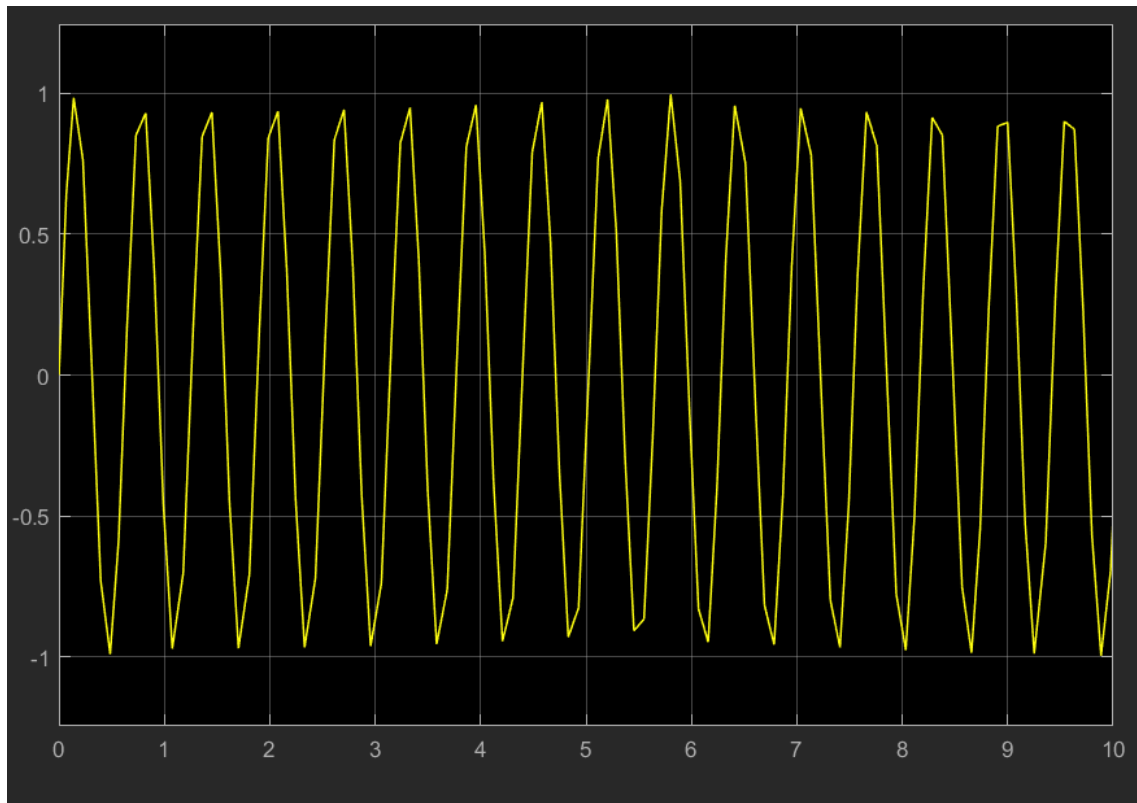
w=0

Entrada y salida:

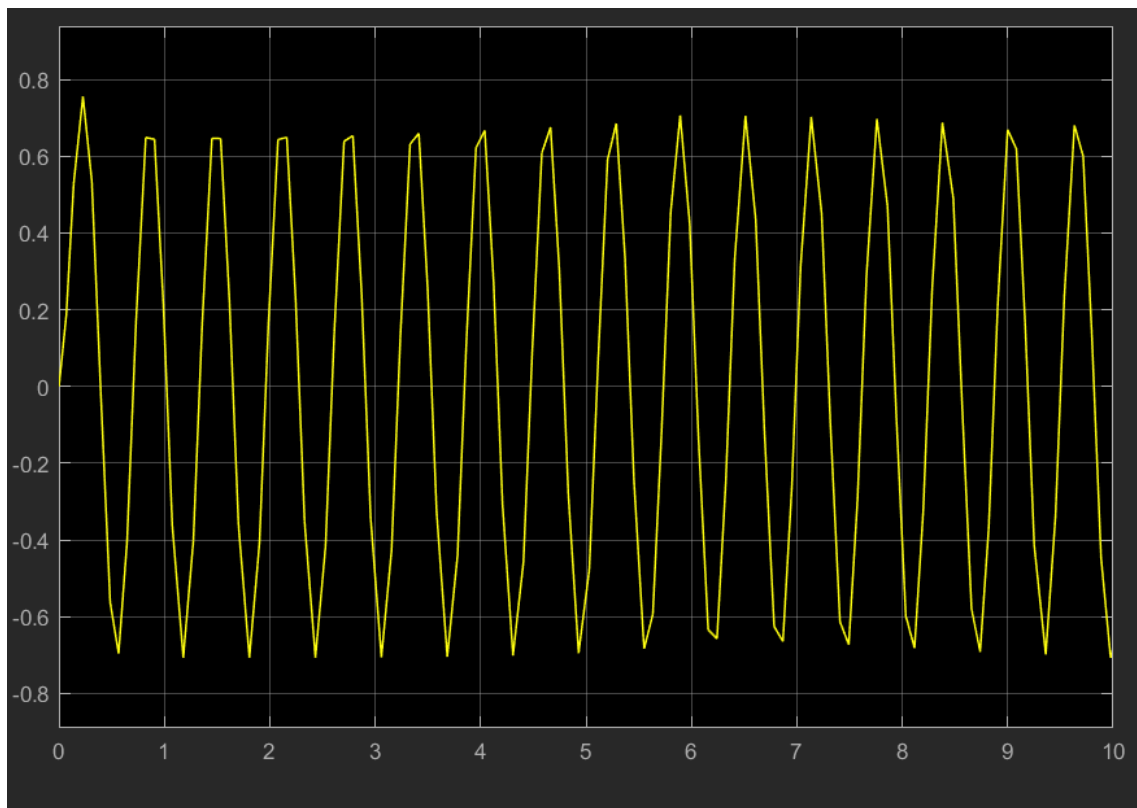


w=10

Entrada:

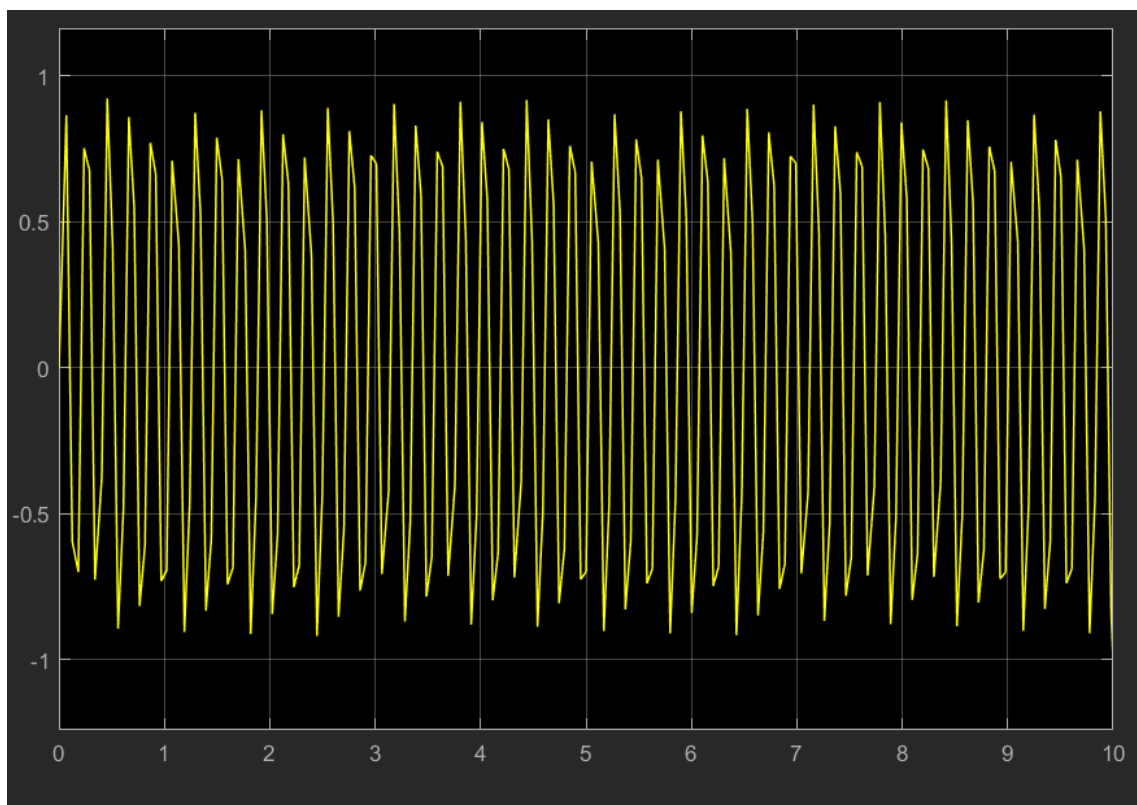


Salida:

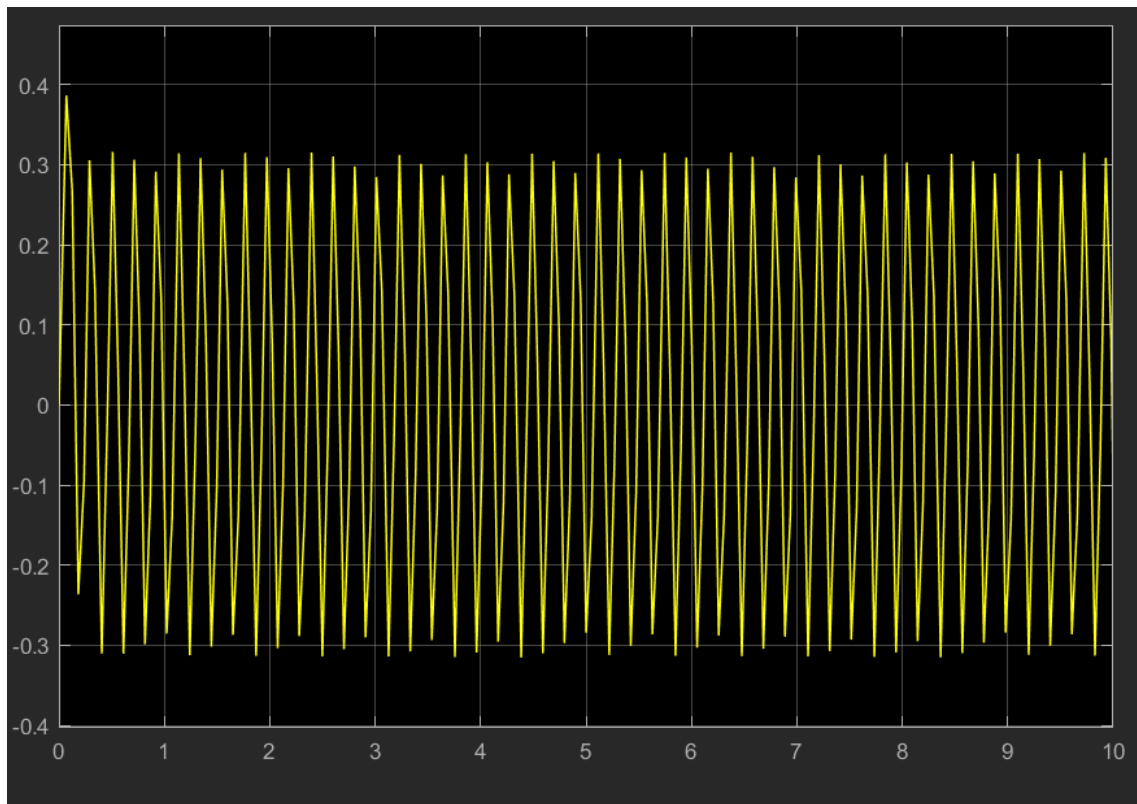


w=30

Entrada:

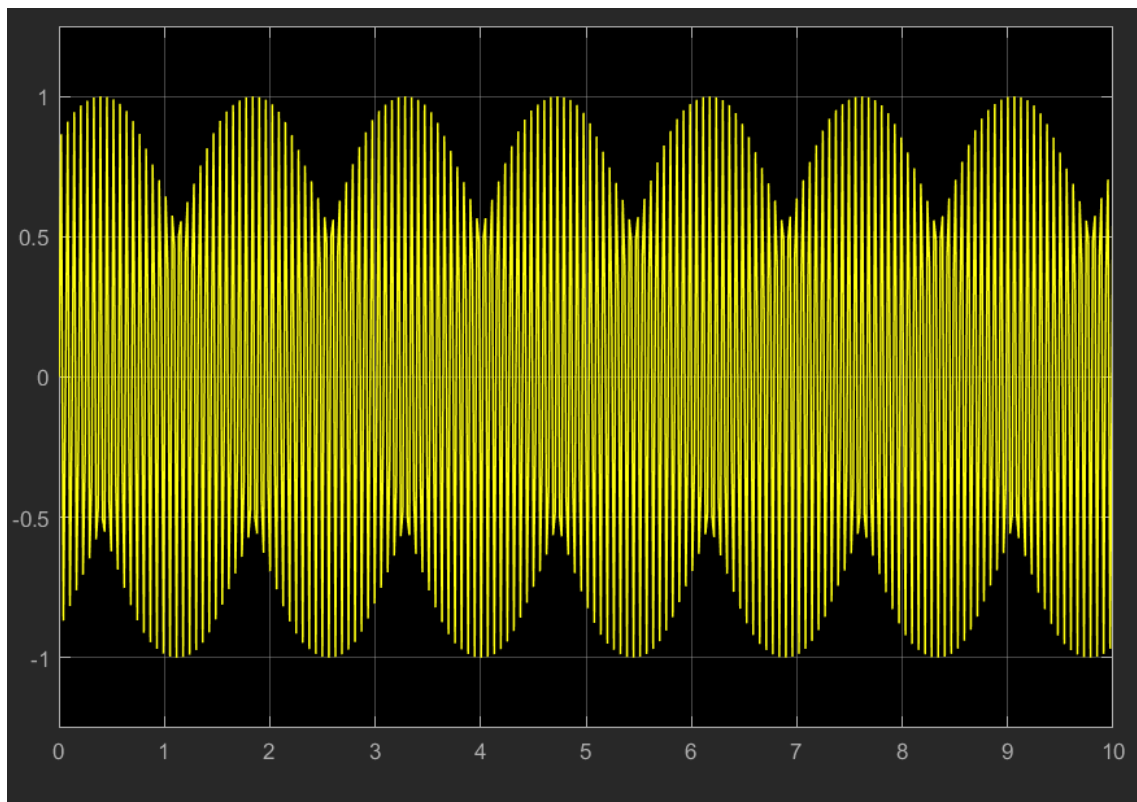


Salida:

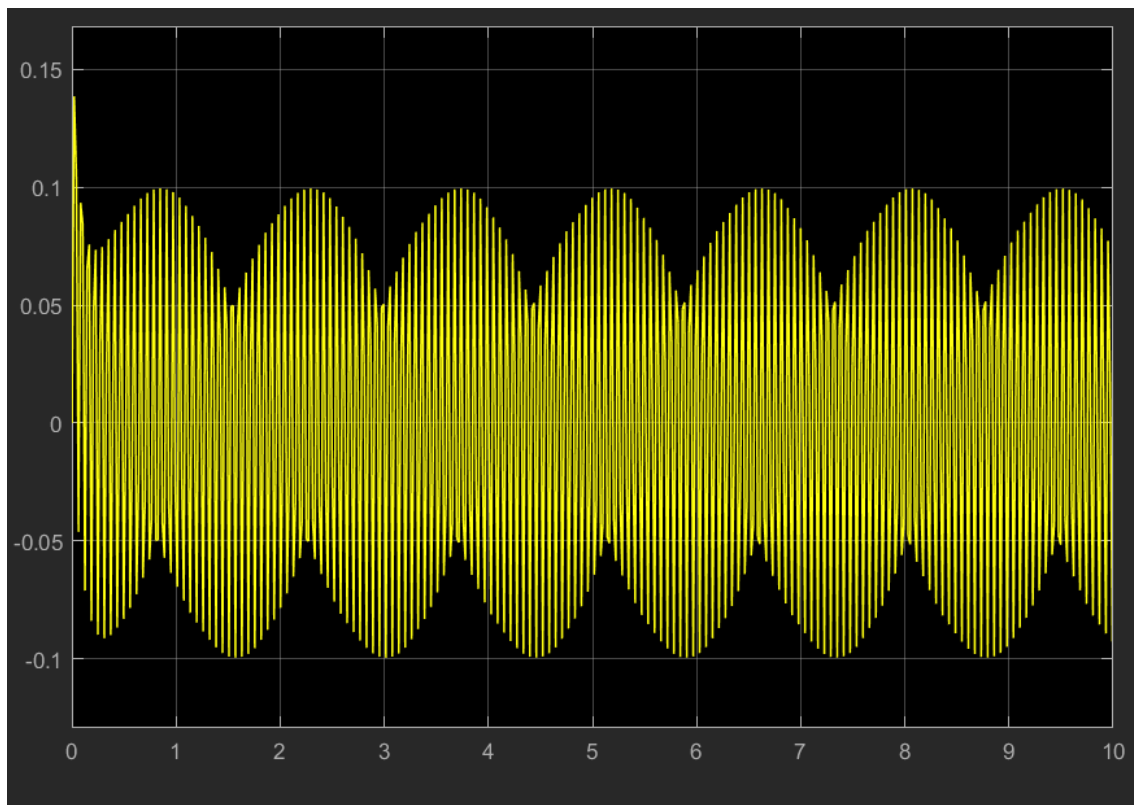


w=100

Entrada:



Salida:



Podemos observar que las señales de entrada y las señales de salida se corresponden con la misma senoide (entre cada par), solo varía la amplitud y la fase.

Si calculamos dichos valores, obtenemos lo siguiente:

Para $w=0$:

```
abs(H1(find(wt==0)))  
angle(H1(find(wt==0)))
```

Obtenemos módulo=0.1 y fase=0.

Para $w=10$:

```
abs(H1(find(wt==10)))  
angle(H1(find(wt==10)))
```

Obtenemos módulo=0.0707 y fase=-0.7854.

Para $w=30$:

```
abs(H1(find(wt==30)))  
angle(H1(find(wt==30)))
```

Obtenemos módulo=0.0316 y fase=-1.249.

Para $w=100$:

```
abs(H1(find(wt==100)))  
angle(H1(find(wt==100)))
```

Obtenemos módulo=0.01 y fase=-1.4711.